

UNIVERSIDADE ESTADUAL DE CAMPINAS
FACULDADE DE ENGENHARIA MECÂNICA

Relatório Final
Trabalho de Conclusão de Curso

Manipulação e Controle de Sistemas Dinâmicos através de
Interface Visual

Autor: **Gabriel Daré**

Orientador: **Prof. Dr. André Ricardo Fioravanti**

Campinas, Novembro de 2014

UNIVERSIDADE ESTADUAL DE CAMPINAS

FACULDADE DE ENGENHARIA MECÂNICA

Relatório Final
Trabalho de Conclusão de Curso

Manipulação e Controle de Sistemas Dinâmicos através de Interface Visual

Autor: **Gabriel Daré**

Orientador: **Prof. Dr. André Ricardo Fioravanti**

Curso: Engenharia de Controle e Automação

Trabalho de Conclusão de Curso, apresentado à Comissão de Graduação da Faculdade de Engenharia Mecânica, como requisito para a obtenção do título de Engenheiro de Automação e Controle.

Campinas, 2014

S.P. – Brasil

Agradecimentos

Este trabalho não poderia ser terminado sem a ajuda de diversas pessoas às quais presto minha homenagem:

Sr. Dr. André Ricardo Fioravanti pela excelente revisão da formatação e da gramática deste documento, além de sua grande ajuda técnica e de incentivo.

À meus familiares, amigos e, principalmente, namorada que me auxiliou e me deu todo o suporte para a conclusão deste trabalho.

Índice

	Resumo	1
	Lista de Figuras	2
	Lista de Equações	2
	Abreviações e Siglas	3
Capítulo 1	Introdução	4
Capítulo 2	Revisão Bibliográfica	6
2.1.	Microsoft Kinect	6
2.2.	SDK e Microsoft Visual Studio	7
2.3.	Pêndulo de Furuta	9
Capítulo 3	Procedimento Experimental	12
3.1	Primeira Etapa	12
3.2	Segunda Etapa	13
Capítulo 4	Resultados e Discussões	21
Capítulo 5	Conclusões	23
	Referências Bibliográficas	24

Resumo

DARÉ, Gabriel, *Manipulação e Controle de Sistemas Dinâmicos através de Interface Visual*, Faculdade de Engenharia Mecânica, Universidade Estadual de Campinas, Trabalho de Conclusão de Curso, (2014).

O objetivo deste Trabalho de Graduação I é fazer a integração completa entre um sistema de Interface Visual, como a Microsoft Kinect, e um sistema dinâmico. Desta forma, através do reconhecimento de posições e gestos, desejamos manipular ou mesmo controlar esta planta apenas utilizando informações provenientes de imagens.

Nesta primeira parte do projeto, iniciaremos os estudos deste problema. Como primeiro passo, devemos conhecer o sensor visual em si, ou seja, aprender a receber e interpretar os dados que a Microsoft Kinect é capaz de fornecer. Para isso, será necessário tanto o estudo da API quanto a instalação dos componentes e ambientes computacionais. Em seguida, estudaremos alguns algoritmos capazes de interpretar gestos humanos, de forma que seja possível enviar ao equipamento alguns comandos simples, como inicializar, encerrar ou mudar o ponto de operação.

Uma vez concluída esta etapa, que permitirá sobretudo uma melhor compreensão do funcionamento do sensor e a interligação dele com a planta física, pretendemos, na segunda etapa do projeto, controlar o equipamento utilizando apenas as informações fornecidas pelo equipamento visual. Duas metodologias serão exploradas. Na primeira, as informações dos *encoders* serão descartadas, e apenas os dados obtidos visualmente serão utilizados. Este é um problema extremamente complicado, envolvendo técnicas avançadas de visão computacional e controle com atrasos. Outra possibilidade, talvez mais simples, seja captar e interpretar a ação de um humano para controlar, virtualmente, o equipamento. A factibilidade deste problema depende, no entanto, em grande parte da precisão do equipamento, informação que só obteremos durante a execução da primeira parte do projeto.

Palavras Chave: Kinect, Interface Visual, Sensor Visual.

Lista de Figuras

Figura 2.1. Microsoft Kinect.	6
Figura 2.2. Recursos do Microsoft Kinect.	7
Figura 2.3. Plataforma SDK, com recurso Skeleton.	8
Figura 2.4. Plataforma SDK, com recurso <i>Depth Image</i> .	8
Figura 2.5. Plataforma Microsoft Visual Studio.	9
Figura 2.6. Pêndulo de Furuta.	9
Figura 2.7. Esquemático do Pêndulo de Furuta.	10
Figura 3.1. Kinect Explorer com reconhecimento de esqueleto.	12
Figura 3.2. Kinect Explorer com reconhecimento de distância com esqueleto.	13
Figura 3.3. Fluxo de Dados do Kinect.	14
Figura 3.4. Classes principais do Kinect.	15
Figura 3.5. Simulink de Execução da Planta.	20
Figura 3.6. Ligação física da Planta.	20
Figura 4.1. Posição x e y da mão direita e esquerda.	21
Figura 4.2. Movimento de Ligar a Planta.	22
Figura 4.3. Movimento de Desligar a Planta.	22

Lista de Equações

Equação 2.1.	10
--------------	----

Abreviações e Terminologia

API	<i>Application programming interfaces</i> , são interfaces que permitem diferentes <i>softwares</i> se comunicarem;
C++	Linguagem de programação orientada a objeto usada para desenvolver os programas deste projeto;
IHM	Interface Homem-Máquina é o <i>software</i> e/ou <i>hardware</i> que permite o usuário interagir com a máquina;
Matlab	Linguagem de programação especializado em matrizes e matemática para o uso nas universidades e indústrias para modelagem matemática;
RGB	Referência ao tipo de sensor da câmera em <i>Red Green Blue</i> que é parte do sistema de sensor da Microsoft Kinect;
SDK	<i>Software Development Kit</i> permite ao programador utilizar todas as bibliotecas, funções ou definições disponíveis para o Microsoft Kinect;
VGA	<i>Video Graphics Array</i> que se refere à resolução de 640x480 pixels disponíveis na Câmera do Microsoft Kinect;

Capítulo 1

Introdução

Com o avanço na capacidade computacional de sistemas embarcados, o que permitiu a recente queda de preço e maior disseminação de sistemas complexos de interface visual, tornou-se possível a manipulação virtual de objetos 3D, como pode ser visto na tese de A. Ladzinski¹. Uma área que pode se beneficiar com estas técnicas são as tele-operações robóticas, que possui uma vasta quantidade de aplicações interessantes, seja intervenções cirúrgicas à distância ou operações militares. Porém, apesar do grande interesse prático, existe ainda uma grande quantidade de complexos desafios acadêmicos para a disseminação do uso destes dispositivos, sobretudo na área de controle e automação.

Dessa forma, percebe-se que precisamos cada vez mais criar uma relação mais natural com o mundo da tecnologia. Essa necessidade se resume na finalidade do compartilhamento de informação com o espaço físico e, não apenas, em enviar, receber, armazenar e computar informações, como diz Felipe Santos².

Essa interação pode ser feita justamente através, por exemplo, do objeto de estudo desse Trabalho de Conclusão de Curso, o Microsoft Kinect, o qual iremos utilizar todas as especialidades que possui este equipamento para, em uma primeira opção como Trabalho de conclusão de curso II, utiliza-lo como um sensor que fecharia a malha de controle da planta, neste caso o pêndulo de Furuta. Uma segunda possibilidade, para este trabalho futuro, seria o controle de nossa planta através da interpretação visual dos movimentos de um ser humano.

Como dito anteriormente, o objeto de estudo deste Trabalho de Conclusão de Curso será os estudos preliminares para o estudo supracitado. Este, se dará da seguinte forma:

¹ A. Ladzinski, Development of 3D Image Manipulation Software Using the Microsoft Kinect, Murdoch University, 2013.

² F. Santos, Aplicação para reconhecimento de Gestos, baseada em OPENNI, Faculdade Anhanguera de Belo Horizonte, 2013.

um início focado em conhecer todos os recursos que o sensor visual pode fornecer e auxiliar. Uma vez compreendido, um segundo passo a ser dado é receber e interpretar os dados fornecidos pelo Kinect, o qual se faz necessário instalação e ambientação de softwares adequados, como o SDK, que fornecem APIs que ajudam nessas interpretações. Uma vez ambientado com estes softwares, linguagens e bibliotecas, passamos para uma terceira etapa que seria estudar, ou desenvolver, algoritmos que possam interpretar comandos gestuais e/ou sonoros, de forma que seja possível realizar algumas tarefas pré-determinadas em nossa planta.

Capítulo 2

Revisão Bibliográfica

Para este capítulo, será apresentado todos os recursos para a implementação do projeto como o Microsoft Kinect, as plataformas de desenvolvimento das programações SDK e Microsoft Visual Studio e a planta de trabalho, o pêndulo de furuta.

2.1 Microsoft Kinect

O sensor de movimento, Microsoft Kinect, é capaz de interpretar movimentos específicos com a finalidade de controlar dispositivos eletrônicos. Com o auxílio de um sensor infravermelho, chamado *Light Coding*, o Kinect é capaz de reconstruir o ambiente em 3D.

O sistema de *software* do Kinect foi desenvolvido por uma subsidiária da Microsoft chamada *Rare*. Já a tecnologia da câmera foi desenvolvida com a empresa israelita, Prime Sense, juntamente com o sensor infravermelho.

Como curiosidade, um dos pesquisadores responsáveis pelo desenvolvimento do sensor é o brasileiro Alex Kipman. Este, tem como cidade de nascimento Natal-RN que, devido a este fato, foi dado como primeiro nome ao sensor de “*Project Nata*” em 2010.



Figura 2.1. Microsoft Kinect. Fonte: Wikipédia

O módulo do Kinect é equipado com 5 recursos principais:

- a) Câmera RGB;
- b) Sensor Infravermelho que permite ao sensor medir a distancia dos objetos;

- c) Microfone capazes de identificar mais de um usuário bem como a direção que o mesmo se encontra;
- d) Processador e software;

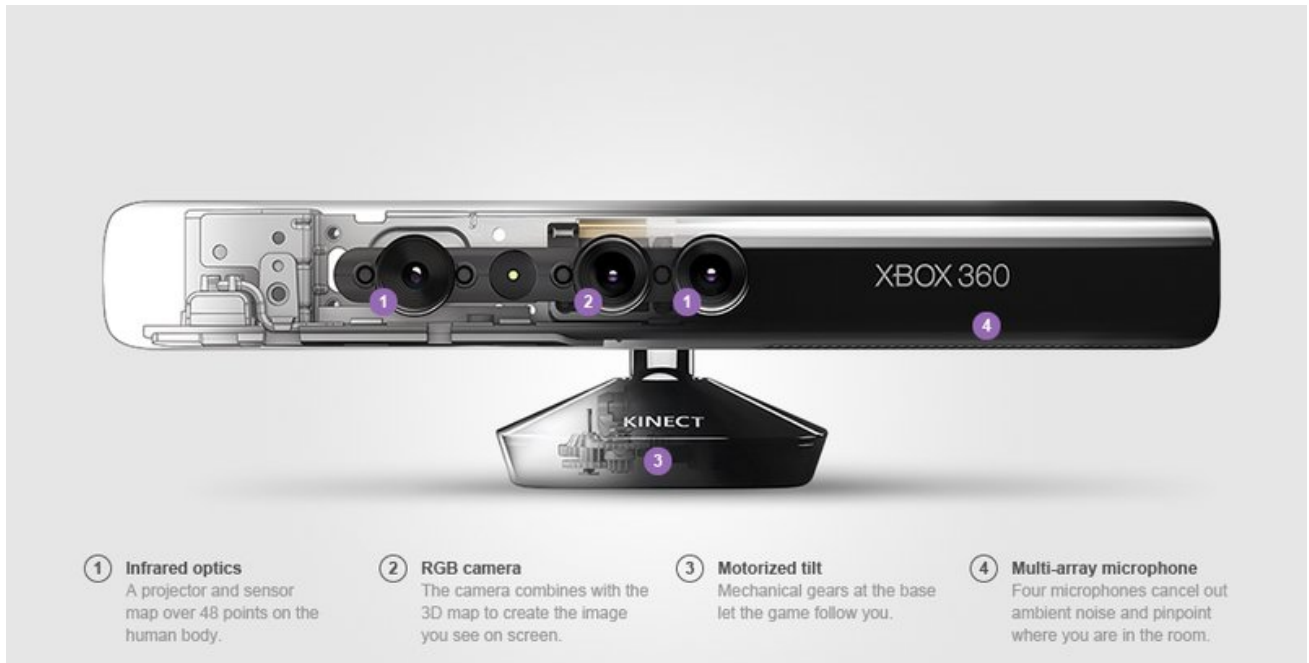


Figura 2.2. Recursos do Microsoft Kinect. Fonte: <http://www.winbeta.org>

Com estes recursos, o sensor possui como características técnicas: campo de visão de 57° horizontalmente e 43° verticalmente; alcance espacial 640x480 (VGA); alcance de profundidade de 0,8m a 3,5m.

2.2 SDK e Microsoft Visual Studio

Com a popularização do Kinect, em 2011 a Microsoft desenvolveu um *software* de desenvolvimento, chamado SDK, permitindo o sensor ser usado como um produto não comercial, principalmente para a aplicação de visão computacional.

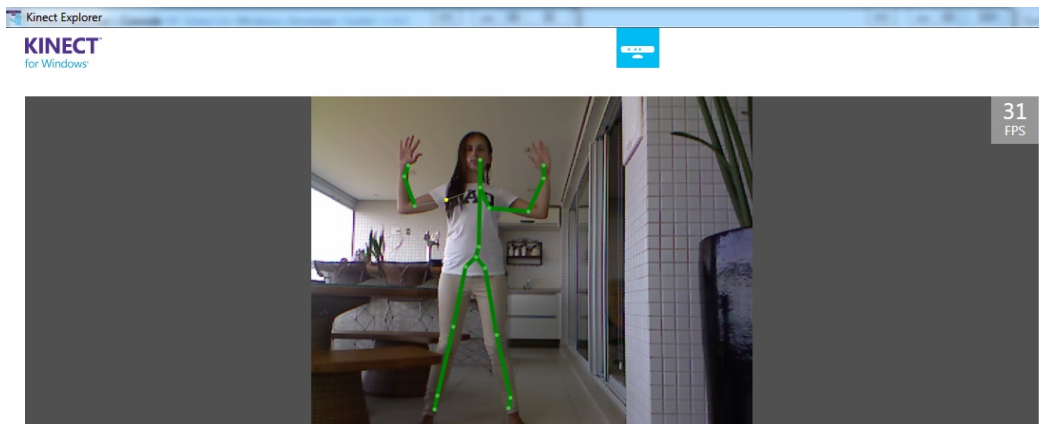


Figura 2.3. Plataforma SDK, com recurso Skeleton. Fonte: G. Daré, 2014

Existem hoje três *APIs* disponíveis para a programação do Kinect – Microsoft SDK, OpenNI e OpenKinect. A diferença entre os três vai desde as plataformas de trabalho, alguns podem ser trabalhados em Apple e Windows, outros apenas com Windows. Além disso, a precisão da distância varia entre eles tanto para perto como longe. Estes programas que permitem a visualização, teste e acesso aos recursos disponibilizados pelo sensor Kinect, como *skeleton*, figura 2.3, *depth image*, figura 2.4.

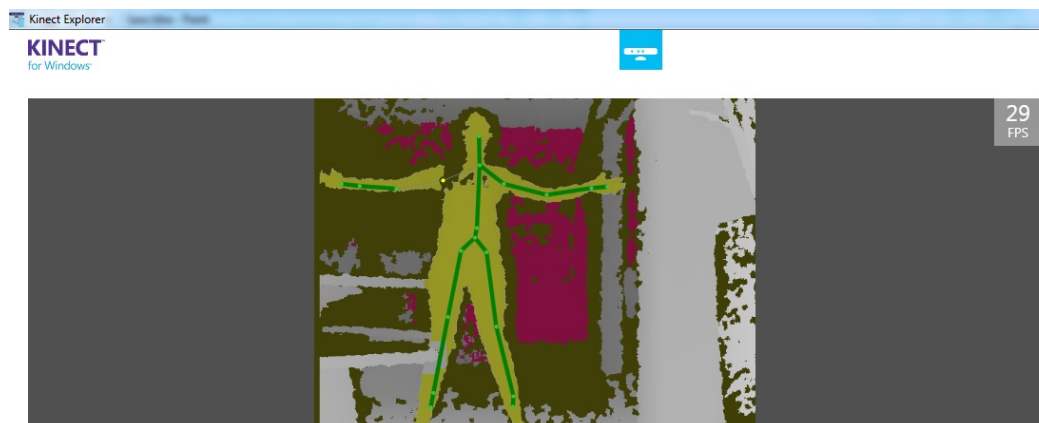


Figura 2.4. Plataforma SDK, com recurso *Depth Image*. Fonte: G. Daré, 2014

Para que você consiga criar programas com esses recursos como *Depth Image*, *Skeleton* entre outros, é utilizado o Visual Studio, figura 2.5, que com as *API* fazem a comunicação entre o lido pelo sensor, e o que se deseja com a programação no Visual Studio.

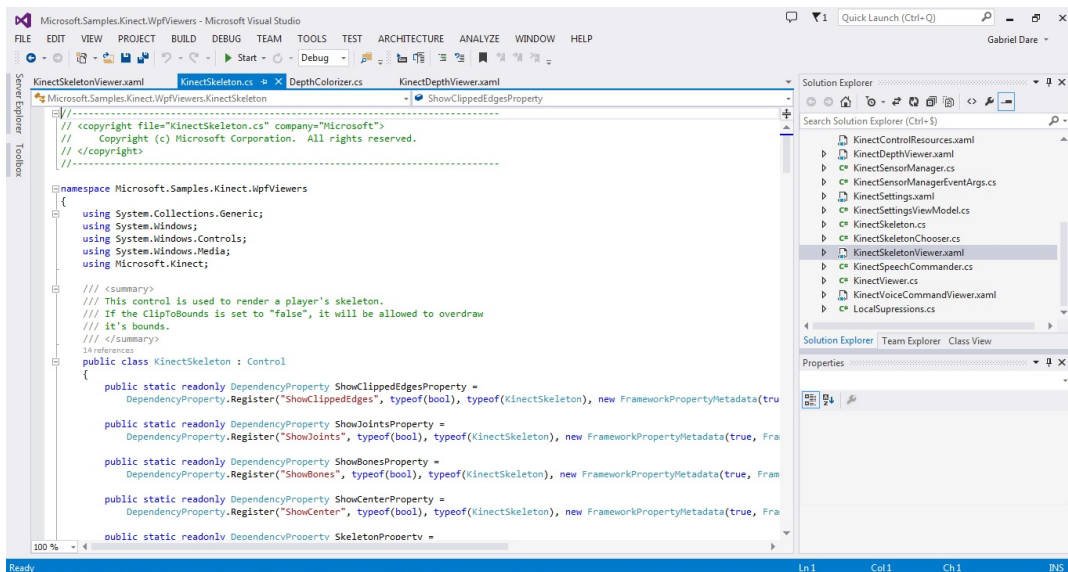


Figura 2.5. Plataforma Microsoft Visual Studio. Fonte: G. Daré, 2014

2.3 Pêndulo de Furuta

A planta a ser utilizada na segunda parte do nosso projeto, possivelmente no Trabalho de Conclusão de Curso II, será o Pêndulo de Furuta (Figura 2.3). Este pêndulo consiste em um braço conduzido um motor de rotação na horizontal. O objetivo final para o estudo será em utilizar o Microsoft Kinect no lugar dos *encoders* e fechar a malha de controle do pêndulo.

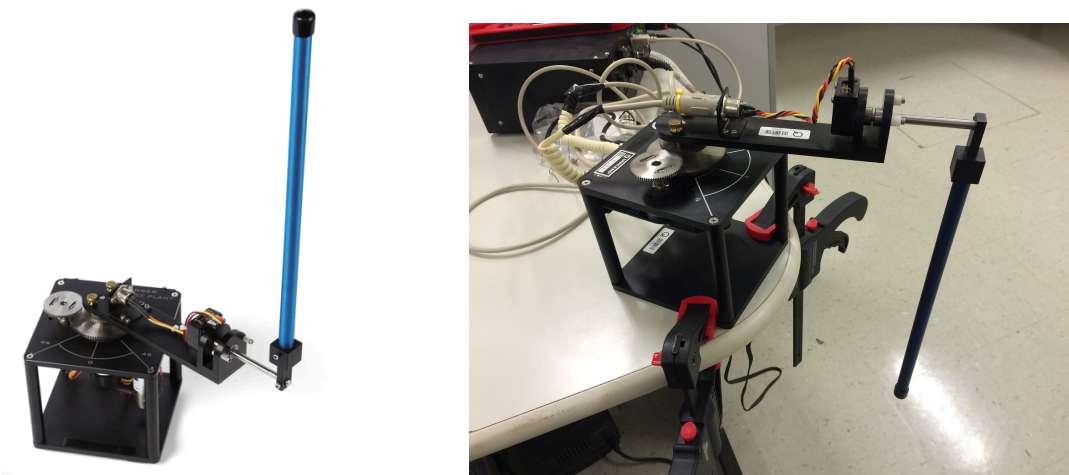


Figura 2.6. Pêndulo de Furuta. Fonte: Workbook of Quaser, 2011 e G. Daré, 2014

O Pêndulo de Furuta foi utilizado por muitos autores para demonstrar leis de controles linear e não lineares. Principalmente, no controle com o pêndulo invertido, não linear, será de extrema importância a utilização do sensor Kinect para fechar a malha.

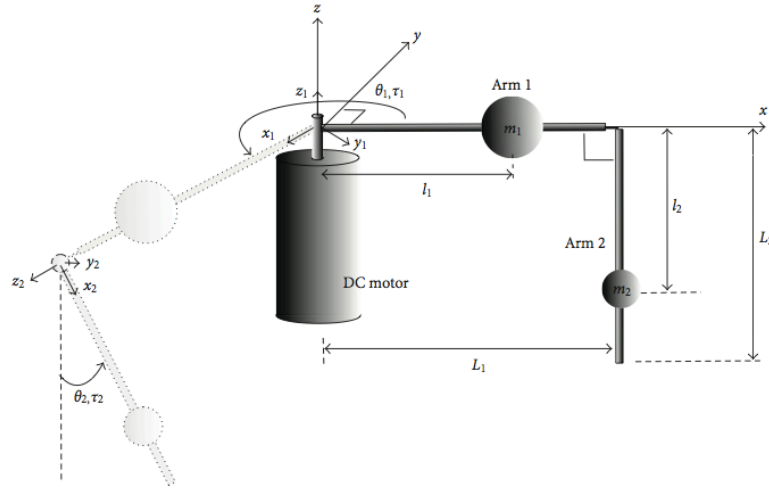


Figura 2.7. Esquemático do Pêndulo de Furuta. Fonte: B. Cazzolato & Z. Prime, On the Dynamics of the Furuta Pendulum, 2011.

B. Cazzolato & Z. Prime demonstraram em seu artigo de pesquisa toda a dinâmica não linear, parte do pêndulo invertido, utilizando dois métodos: Euler-Lagrange e Newton-Euler. Eles chegaram na seguinte equação:

$$\begin{bmatrix} \dot{\theta}_1 \\ \dot{\theta}_2 \\ \ddot{\theta}_1 \\ \ddot{\theta}_2 \\ i \end{bmatrix} = \begin{bmatrix} 0 & 0 & 1 & 0 & 0 \\ 0 & 0 & 0 & 1 & 0 \\ A_{31} & A_{32} & A_{33} & A_{34} & B_{31}K_m \\ A_{41} & A_{42} & A_{43} & A_{44} & B_{41}K_m \\ 0 & 0 & \frac{-K_m}{L_m} & 0 & \frac{-R_m}{L_m} \end{bmatrix} \begin{bmatrix} \theta_1 \\ \theta_2 \\ \dot{\theta}_1 \\ \dot{\theta}_2 \\ i \end{bmatrix} + \begin{bmatrix} 0 \\ 0 \\ 0 \\ 0 \\ \frac{1}{L_m} \end{bmatrix} V + \begin{bmatrix} 0 \\ 0 \\ B_{32} \\ B_{42} \\ 0 \end{bmatrix} \tau_2.$$

Equação 2.1

Onde:

$$A_{31} = 0,$$

$$A_{32} = \frac{gm_2^2 l_2^2 L_1}{(\hat{J}_0 \hat{J}_2 - m_2^2 L_1^2 l_2^2)},$$

$$A_{33} = \frac{-b_1 \hat{J}_2}{(\hat{J}_0 \hat{J}_2 - m_2^2 L_1^2 l_2^2)},$$

$$A_{34} = \frac{-b_2 m_2 l_2 L_1}{(\hat{J}_0 \hat{J}_2 - m_2^2 L_1^2 l_2^2)},$$

$$A_{41} = 0,$$

$$A_{42} = \frac{gm_2 l_2 \hat{J}_0}{(\hat{J}_0 \hat{J}_2 - m_2^2 L_1^2 l_2^2)},$$

$$A_{43} = \frac{-b_1 m_2 l_2 L_1}{(\hat{J}_0 \hat{J}_2 - m_2^2 L_1^2 l_2^2)},$$

$$A_{44} = \frac{-b_2 \hat{J}_0}{(\hat{J}_0 \hat{J}_2 - m_2^2 L_1^2 l_2^2)},$$

$$B_{31} = \frac{\hat{J}_2}{(\hat{J}_0 \hat{J}_2 - m_2^2 L_1^2 l_2^2)},$$

$$B_{41} = \frac{m_2 L_1 l_2}{(\hat{J}_0 \hat{J}_2 - m_2^2 L_1^2 l_2^2)},$$

$$B_{32} = \frac{m_2 L_1 l_2}{(\hat{J}_0 \hat{J}_2 - m_2^2 L_1^2 l_2^2)},$$

$$B_{42} = \frac{\hat{J}_0}{(\hat{J}_0 \hat{J}_2 - m_2^2 L_1^2 l_2^2)}.$$

Capítulo 3

Procedimento Experimental

Para este Trabalho de Conclusão de Curso I, teremos como objeto de trabalho a ambientação quanto aos *Softwares* de desenvolvimento, no caso o SDK e Visual Studio, bem como a implementação de fato do sensor Kinect com o reconhecimento de alguns movimentos definidos como: acionar e desligar a planta. Esta etapa está relacionada com uma terceira etapa que seria a comunicação do *software* criado juntamente com o sensor Kinect e a planta de trabalho. Uma vez que o sensor interpretando o movimento, vai atuar diretamente no sistema, pendulo de furuta.

3.1 Primeira Etapa

Nesta fase, segundo a explicação supracitada, foi concluída com a instalação dos *softwares* de desenvolvimento SDK e Visual Studio, juntamente com as API e bibliotecas já existentes para a programação do Kinect.

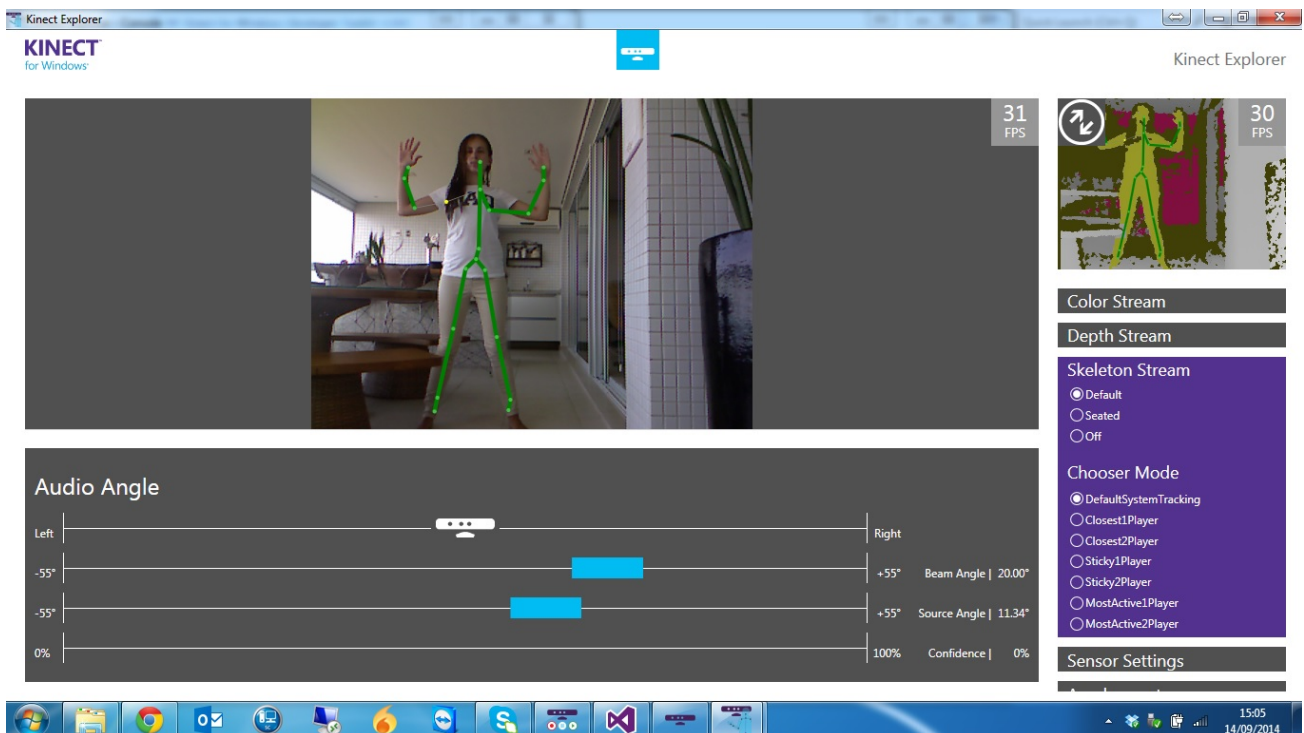


Figura 3.1. Kinect Explorer com reconhecimento de esqueleto. Fonte: G. Daré, 2014

Como forma de ambientação, foi possível observar sistemas básicos para o Kinect como o reconhecimento de esqueleto através da câmera, figura 2.8, bem como a

implementação da distancia através de cores, figura 2.9, com a implementação do infravermelho juntamente com a câmera. Estes são os primeiros passos para o reconhecimento de movimentos, uma vez que com a detecção das distâncias e do esqueleto de movimentação, basta agora criar um programa que interpreta os movimentos realizados e com isso executa alguma ação pré-estabelecida.

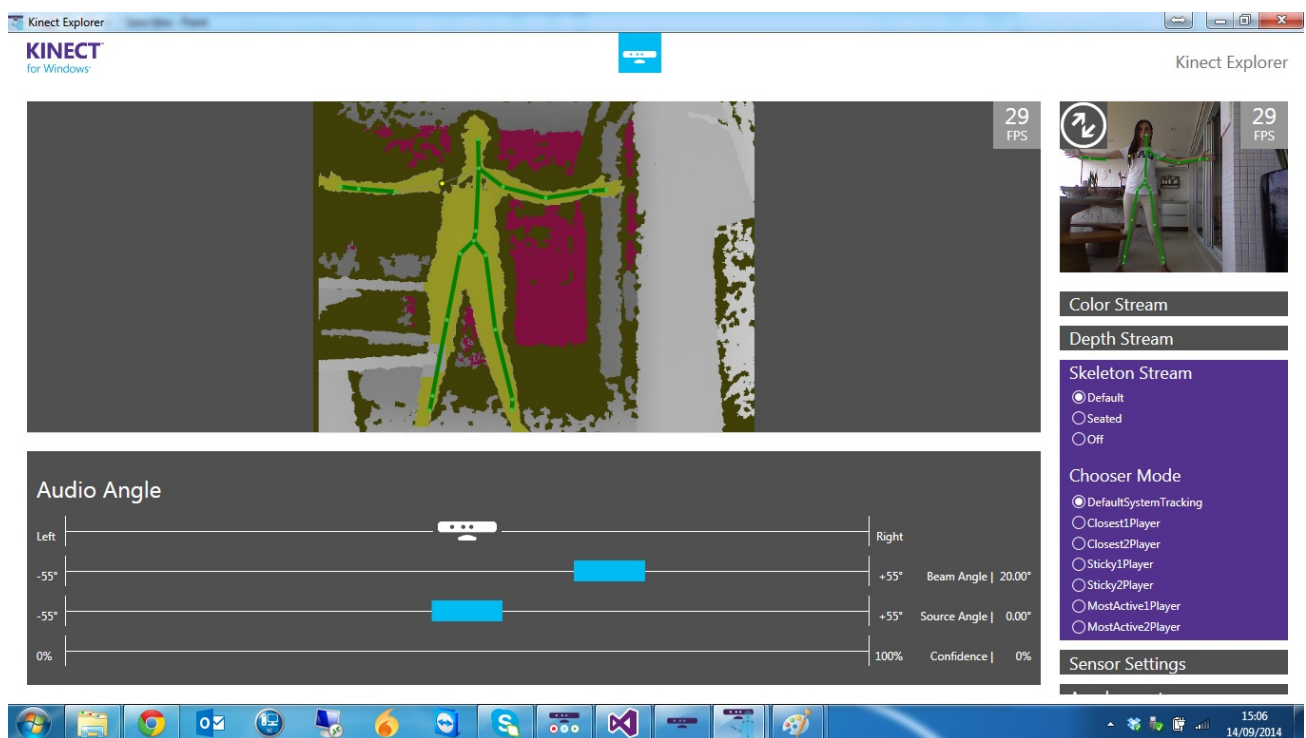


Figura 3.2. Kinect Explorer com reconhecimento de distancia com esqueleto. Fonte: G. Daré, 2014

3.2 Segunda Etapa

Para a segunda etapa, foi executada a implantação do reconhecimento de determinados movimentos para ligar e desligar a planta analisada.

Para o entendimento deste procedimento faz-se necessário o conhecimento de algumas particularidades do Kinect e sua programação através das *APIs*, são elas:

- 1) Fluxo de dados no Kinect;
- 2) As classes, métodos e eventos para cada Fluxo de dado.

A primeira particularidade pode ser facilmente entendida conforme o diagrama abaixo, Figura 3.3:

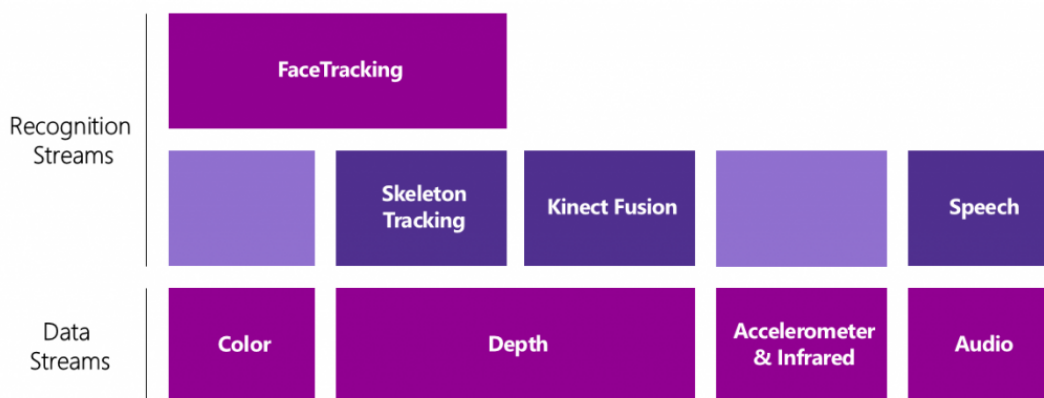


Figura 3.3 Fluxo de Dados do Kinect. Fonte: <http://www.kinectingforwindows.com>, 2014

Neste diagrama pode-se visualizar que para cada tipo de aplicação, seja ela rastrear uma face, uma pessoa, uma voz ou a fusão de alguns desses recursos, o Kinect pode fornecer algum fluxo de dado capaz de realiza-lo.

Vamos para o experimento aqui explanado: é necessário rastrear algum movimento que será interpretado e aplicado a uma planta específica. Logo, o fluxo de reconhecimento (*recognition stream*) a ser utilizado será o rastreamento do esqueleto (*skeleton tracking*), que nos será fornecido pelo Kinect como fluxo de dados (*Data streams*) a profundidade, ou mais simples de ser entendido, a posição de determinada parte do corpo no espaço.

Para tanto, algumas classes, métodos e eventos são fornecidos pela API afim de obter os dados ditos anteriormente. Estes podem ser visualizados de forma resumida na Figura 3.4 abaixo:

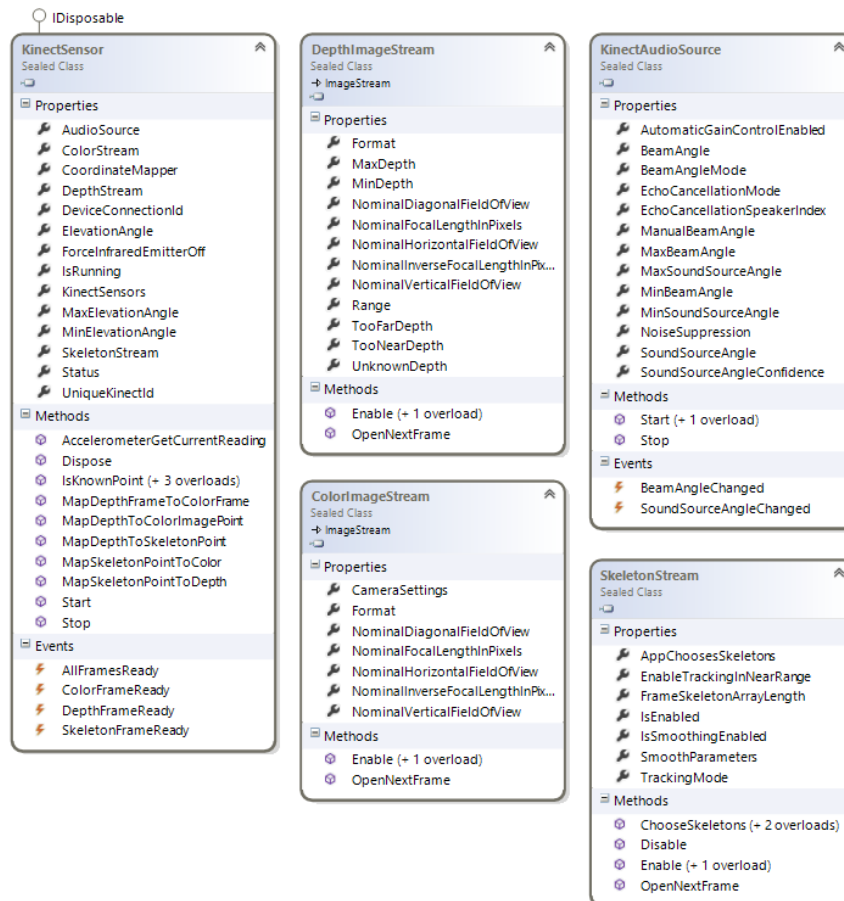


Figura 3.4 Classes principais do Kinect. Fonte: <http://www.kinectingforwindows.com>, 2014

Com essas classes foi possível executar as ações necessárias como inicializar o Kinect, rastrear as posições de membros pré-definidos como mão direita e esquerda, braços entre outros membros.

Como podemos ver abaixo estão as inclusões das bibliotecas das API para o Kinect.

```
#include <windows.h>
#include <objbase.h>
#include <ole2.h>
#include <oleauto.h>
#include <winsock2.h>
#include "NuiApi.h"
#include <iostream>
#include <ws2tcpip.h>
#include <stdio.h>
#include <stdlib.h>
#include <Shlobj.h>
```

Estas bibliotecas foram um dos principais problemas para a compilação do programa, uma vez que algumas bibliotecas depende de outras anteriormente. Exemplificando isso, ao utilizar a API “NuiApi.h”, para captar as posições da mão no espaço, era necessário ter a biblioteca “Windows.h”. Dessa forma, até descobrir quais

bibliotecas são necessárias para o bom funcionamento do seu programa demanda conhecimento das bibliotecas.

Abaixo é uma sequência de comandos afim de inicializar o Kinect da melhor forma. Esta deve ser realizada uma vez apenas.

```
NuiInitialize(NUI_INITIALIZE_FLAG_USES_SKELETON);
NUI_SKELETON_FRAME ourframe;
cout << "Kinect Iniciada" << endl;

// Socket de Comunicacao
WSADATA wsaData;
SOCKET ConnectSocket = INVALID_SOCKET;
struct addrinfo *result = NULL,
    *ptr = NULL,
    hints;
char *sendbuf = "this is a test";
char *on = "Planta Ligada";
char *desliga = "Planta OFF";
char recvbuf[DEFAULT_BUFLen];
int iResult;
int recvbuflen = DEFAULT_BUFLen;
```

Uma vez inicializado o Kinect, a cada obtenção de dados é necessário criar um Frame. Este, é como se fosse uma “foto” do momento em que quer analisar os dados necessários. Com esse Frame criado, consigo obter dados de posição da mão direita, esquerda e dos ombros direito e esquerdo. Desta forma, posso criar comando que no momento em que a mão direita ultrapassa a altura do ombro direito eu ligo a planta, bem como, se a mão esquerda fazer o mesmo eu desligo a mesma. Com esta simples comparação, não se faz necessário depender da distancia para o Kinect e a comparação é mais confiável. Este comando é feito como descrito:

```
while (1)
{
    NuiSkeletonGetNextFrame(0, &ourframe);
    cout << "Adquirindo dados" << endl;
    for (int i = 0; i < 6; i++)
    {
        if (ourframe.SkeletonData[i].eTrackingState == NUI_SKELETON_TRACKED)
        {
            cout << "Mao Direita: x = " <<
ourframe.SkeletonData[i].SkeletonPositions[NUI_SKELETON_POSITION_HAND_RIGHT].x << " y = " <<
ourframe.SkeletonData[i].SkeletonPositions[NUI_SKELETON_POSITION_HAND_RIGHT].y << endl;
            cout << "Mao Esquerda: x = " <<
ourframe.SkeletonData[i].SkeletonPositions[NUI_SKELETON_POSITION_HAND_LEFT].x << " y = " <<
ourframe.SkeletonData[i].SkeletonPositions[NUI_SKELETON_POSITION_HAND_LEFT].y << endl;

            if
(ourframe.SkeletonData[i].SkeletonPositions[NUI_SKELETON_POSITION_HAND_RIGHT].y >
ourframe.SkeletonData[i].SkeletonPositions[NUI_SKELETON_POSITION_SHOULDER_RIGHT].y)
            {
                liga = 1;
            }
        }
    }
}
```

```

(ourframe.SkeletonData[i].SkeletonPositions[NUI_SKELETON_POSITION_HAND_LEFT].y >
ourframe.SkeletonData[i].SkeletonPositions[NUI_SKELETON_POSITION_SHOULDER_LEFT].y)
    {
        liga = 0;
    }
}
if (liga_ant == 0 && liga == 1)
{
    cout << "Planta Ligada" << endl;
    liga_ant = liga;
}
if (liga_ant == 1 && liga == 0)
{
    cout << "Planta Desligada" << endl;
    liga_ant = liga;
}
}
}

```

Uma vez tendo o programa executando o que é necessário para esta aplicação, o último objetivo a ser executado é a comunicação entre o Kinect e o controlador da planta de furuta. Ou seja, foi feito um protocolo simples de comunicação entre o programa de interpretação do Kinect com o Matlab, programa de controle do pêndulo de furuta.

Para o envio das mensagens por parte do Kinect, é necessário a criação de um Socket de comunicação e inicializá-lo, conforme mostrado abaixo:

```

// Socket de Comunicacao
WSADATA wsaData;
SOCKET ConnectSocket = INVALID_SOCKET;
struct addrinfo *result = NULL,
    *ptr = NULL,
    hints;
char *sendbuf = "this is a test";
char *on = "Planta Ligada";
char *desliga = "Planta OFF";
char recvbuf[DEFAULT_BUFLen];
int iResult;
int recvbuflen = DEFAULT_BUFLen;

// Initialize Winsock
iResult = WSASStartup(MAKEWORD(2, 2), &wsaData);
if (iResult != 0) {
    printf("WSASStartup failed with error: %d\n", iResult);
    return 1;
}

ZeroMemory(&hints, sizeof(hints));
hints.ai_family = AF_UNSPEC;
hints.ai_socktype = SOCK_STREAM;
hints.ai_protocol = IPPROTO_TCP;

// Resolve the server address and port
iResult = getaddrinfo("143.106.14.171", DEFAULT_PORT, &hints, &result);
if (iResult != 0) {
    printf("getaddrinfo failed with error: %d\n", iResult);
    WSACleanup();
    return 1;
}

```

```

}

// Attempt to connect to an address until one succeeds
for (ptr = result; ptr != NULL; ptr = ptr->ai_next) {

    // Create a SOCKET for connecting to server
    ConnectSocket = socket(ptr->ai_family, ptr->ai_socktype,
        ptr->ai_protocol);
    if (ConnectSocket == INVALID_SOCKET) {
        printf("socket failed with error: %ld\n", WSAGetLastError());
        WSACleanup();
        return 1;
    }

    // Connect to server.
    iResult = connect(ConnectSocket, ptr->ai_addr, (int)ptr->ai_addrlen);
    if (iResult == SOCKET_ERROR) {
        closesocket(ConnectSocket);
        ConnectSocket = INVALID_SOCKET;
        continue;
    }
    break;
}

freeaddrinfo(result);

if (ConnectSocket == INVALID_SOCKET) {
    printf("Unable to connect to server!\n");
    WSACleanup();
    return 1;
}

```

Após a criação do socket de comunicação é necessário enviar as informações que necessita. Para isso, a cada identificação como anterior, mão direita com altura superior ao ombro e mão esquerda também, é necessário enviar os buffer definidos como liga e desliga a planta, com a seguinte função:

```

// Send a buffer
iResult = send(ConnectSocket, sendbuf, (int)strlen(sendbuf), 0);
if (iResult == SOCKET_ERROR) {
    printf("send failed with error: %d\n", WSAGetLastError());
    closesocket(ConnectSocket);
    WSACleanup();
    return 1;
}

cout << "Mensagem Enviada" << endl;

```

Uma vez enviada a mensagem, o Matlab tem que receber essa mensagem e “jogar” no sistema Simulink afim de ligar/desligar a planta. Até o reconhecimento do Matlab não houve problema de implementação, porém para alterar o sistema em tempo real foi onde houve muitos problemas. A solução encontrada é alteração de parâmetro direto no arquivo do Simulink, dessa forma podemos garantir a alteração em tempo real, uma vez que não

possuímos alguns pacotes no Matlab que facilitariam esse trabalho. O programa utilizado para criação do server e alteração do parâmetro em tempo real é o seguinte:

```
function server( output_port)

import java.net.ServerSocket
import java.io.*

% wait for 1 second for client to connect server socket
server_socket = ServerSocket(output_port);
server_socket.setSoTimeout(100000);

output_socket = server_socket.accept;

fprintf(1, 'Client connected\n');

input_stream = output_socket.getInputStream;
d_input_stream = DataInputStream(input_stream);

while(1)
    % output the data over the DataOutputStream
    % Convert to stream of bytes
    pause(0.2);
    bytes_available = input_stream.available;

    message = zeros(1, bytes_available, 'uint8');
    for i = 1:bytes_available
        message(i) = d_input_stream.readByte;
    end

    message = char(message);
    t1 = strcmp(message, 'Planta Ligada');
    t2 = strcmp(message, 'Planta OFF');
    if t1
        set_param('system_quanser_kinect/Constant', 'Value', '1');
    elseif t2
        set_param('system_quanser_kinect/Constant', 'Value', '0');
    end

end

% clean up
server_socket.close;
input_socket.close;

end
```

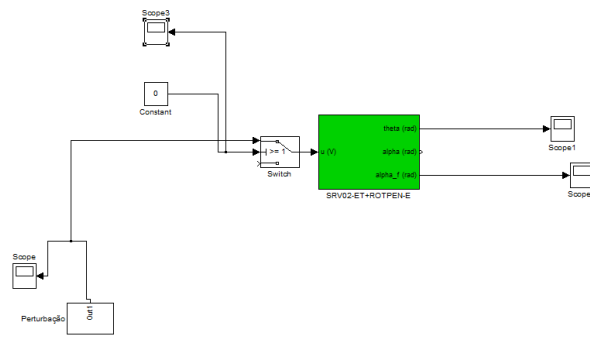


Figura 3.5 Simulink de Execução da Planta. Fonte: G. Daré, 2014

Uma vez todo sistema interligado e os programas executando, a ligação física da planta é feita de acordo com a Figura 3.5 abaixo.

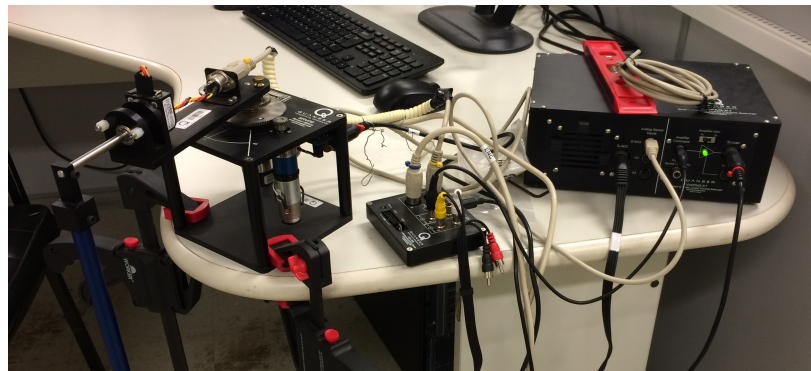


Figura 3.6 Ligação física da Planta. Fonte: G. Daré, 2014

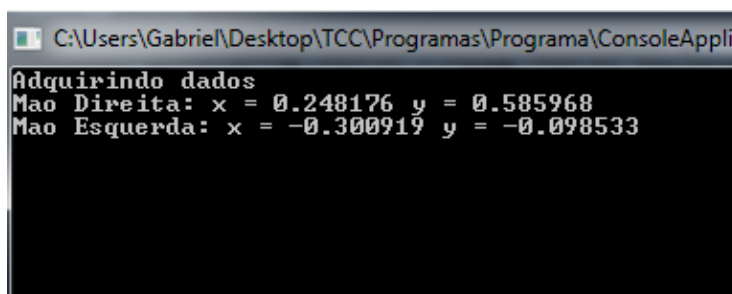
Capítulo 4

Resultados e Discussões

Como resultado para esta primeira etapa, já é possível criar uma forma de interpretação do sensor com relação a movimentos já possuídos em suas bibliotecas de trabalho.

Existem diversos tutoriais para instalação das API e *softwares* de desenvolvimento de programação para qualquer plataforma utilizada. Em geral, não houve nenhuma dificuldade na instalação e execução dos programas exemplos.

Ao ligar a Kinect, a primeira tarefa que o sistema irá fazer é encontrar os pontos de referencia: Mão direita e esquerda e ombro direito e esquerdo. Uma vez reconhecido os membros do corpo, o programa irá começar a rastrear através de um plano x e y, conforme mostra a Figura 4.1.



```
C:\Users\Gabriel\Desktop\TCC\Programas\Programa\ConsoleAppli
Adquirindo dados
Mao Direita: x = 0.248176 y = 0.585968
Mao Esquerda: x = -0.300919 y = -0.098533
```

Figura 4.1 Posição x e y da mão direita e esquerda. Fonte: G. Daré, 2014

Como resultado do reconhecimento de liga e desliga, temo o seguinte: ao erguer o braço direito a uma altura acima do ombro direito, conforme figura 4.2. Já para desligar a planta o sistema reconhece quando a mão esquerda esta a uma altura acima do ombro esquerdo, conforme mostrado na figura 4.3.



Figura 4.2 Movimento de Ligar a Planta. Fonte: G. Daré, 2014



Figura 4.3 Movimento de Desligar a Planta. Fonte: G. Daré, 2014

Capítulo 5

Conclusões

Como conclusão, temos que embora tivesse algumas dificuldades com questão de bibliotecas (API) e com a atualização em tempo real do estado da planta com as configurações da Kinect. Este último nos dá a condição de dar prosseguimento para a segunda etapa que é uma atualização mais dinâmica da posição da mão em interação com a planta, o pêndulo de furuta.

Assim já temos todas as condições de reconhecimento dos membros do corpo em comunicação em tempo real com a planta que necessitarmos, nesse caso o pêndulo de furuta.

Referências Bibliográficas

- [1] A. Ladzinski, Development of 3D Image Manipulation Software Using the Microsoft Kinect, Murdoch University, 2013. 66p.
- [2] F. Santos, Aplicação para reconhecimento de Gestos, baseada em OPENNI, Faculdade Anhanguera de Belo Horizonte, 2013. 10p.
- [3] B. Cazzolato & Z. Prime, On the Dynamics of the Furuta Pendulum, University of Adelaide, 2011. 9p.
- [4] Workbook Rotary Pendulum, Instructor Version, Quanser Inc., 2011. 60p.